

化妆品及保健品中 Cr^{3+} 和 Cr^{6+} 的柱后衍生 - 离子色谱法测定

钟志雄，朱炳辉，吴西梅

(广东省疾病预防控制中心，广东 广州 510300)

摘要：建立了化妆品和保健品中 Cr^{3+} 、 Cr^{6+} 的柱后衍生 - 离子色谱检测法。样品中的铬经柱前络合为 2,6-嘧啶二羧酸铬，柱后衍生为 1,5-二苯碳酰二阱铬，于 520 nm 波长检测。优化了衍生反应条件，提高了检测灵敏度， Cr^{3+} 和 Cr^{6+} 方法检出限 (LODs, 3 σ) 分别为 0.12、0.011 mg/kg。样品加标回收率为 89% ~ 108%，重复性好。共存离子 Fe^{2+} 、 Fe^{3+} 、 Pb^{2+} 、 Cu^{2+} 、 Al^{3+} 、 Zn^{2+} 、 Hg^{2+} 等，以及常见有机物均不干扰测定。

关键词：柱后衍生；离子色谱法；化妆品；保健品； Cr^{3+} ； Cr^{6+}

中图分类号：O657.75；P578.8 文献标识码：A 文章编号：1004-4957(2008)05-0546-04

Determination of Cr^{3+} and Cr^{6+} in Cosmetics and Hygienical Food by Ion Chromatography with Post-column Derivatization

ZHONG Zhi-xiong, ZHU Bing-hui, WU Xi-mei

(Center for Disease Control and Prevention of Guangdong Province, Guangzhou 510300, China)

Abstract: A method was developed for the determination of Cr^{3+} and Cr^{6+} in cosmetics and hygienical food by ion chromatography using post-column derivatization with spectrophotometric detection. The sample was pretreated respectively with acetic acid to extract the Cr^{3+} and sodium hydroxide to extract the Cr^{6+} followed by complexing with pyridine dicarboxylic acid (PDCA) to form Cr^{3+} -PDCA and Cr^{6+} -PDCA, respectively. Using diphenylcarbohydrazide (PDC) as the post-column derivative reagent, the absorbances of Cr^{3+} -PDC and the Cr^{6+} -PDC formed were detected at 520 nm, respectively. Under optimized derivative conditions, the detection limits (3σ) for Cr^{3+} and Cr^{6+} were 0.12 and 0.011 mg/kg, respectively. The relative standard deviations (RSD) for Cr^{3+} and Cr^{6+} were 1.1% and 1.3% ($n=8$), respectively, and the average recoveries were in the range of 89% ~ 108%. The determinations were not interfered by the coexistent cations, namely Fe^{2+} , Fe^{3+} , Pb^{2+} , Cu^{2+} , Al^{3+} , Zn^{2+} , Hg^{2+} and the organic matter.

Key words: post-column derivitization; ion chromatography; cosmetics; hygienical food; Cr^{3+} ; Cr^{6+}

铬是人体必需的微量元素，环境中铬主要以三价和六价形式存在，三价铬广泛分布于人体的各组织器官，维持人体糖和脂肪的正常代谢，其有机化合物如吡啶甲酸铬，常用于降糖的保健品中。六价铬则表现出明显的毒性，对皮肤粘膜有刺激和腐蚀性，已证实有致癌作用^[1]。食品和化妆品中铬形态分析尚没有标准检验方法，开展检测方法研究非常必要。

铬分析常采用分光光度法，为提高灵敏度，可选择高灵敏的显色剂^[2]、富集浓缩^[3]和阴离子交换树脂微柱浓缩样品^[4]，以及萃取光度法等^[5]。原子吸收光度法用于铬形态分析，样品需经萃取、浓集、洗脱处理，再测定 Cr^{3+} 、 Cr^{6+} ^[6]。化学发光法、电感耦合等离子体光谱、质谱测定铬的灵敏度较高^[7-9]，但联用设备不普及。毛细管电泳检测 Cr^{3+} 等重金属离子， Fe^{2+} 干扰 Cr^{3+} 测定^[10]。液相色谱法测定铬形态，多采用固相萃取富集，以提高灵敏度^[11]。保健食品、化妆品组成复杂，难以准确分析其有害元素形态含量，通常只测定总量，但不能真实反映危害水平。离子色谱法可用于铬形态分

收稿日期：2007-06-28；修回日期：2007-07-17

基金项目：广东省卫生厅医学科学技术研究基金资助项目 (A2006079)

第一作者：钟志雄 (1965-)，男，广东龙川人，副主任技师，Tel: 020-84451366-8155, E-mail: zxxiong608@yahoo.com.cn

析^[12-13]，在化妆品检测中的应用尚未见报道，本文探讨离子色谱-光度法检测 Cr³⁺ 和 Cr⁶⁺，为保健食品及化妆品监管提供检测方法。

1 实验部分

1.1 仪器与试剂

Dionex IC-2500型离子色谱仪，AD25紫外可见检测器，PC-10柱后反应装置，AS50自动进样器，色谱柱 InPac CS5(4 mm i. d. ×250 mm)、CG5(4 mm i. d. ×50 mm)。

1 016 mg/L Cr³⁺、1 017 mg/L Cr⁶⁺为国家标准物质，2,6-嘧啶二羧酸(PDCA)、1,5-二苯碳酰二肼(PDC)、磷酸氢二钠、碘化钾、乙酸铵、氢氧化钠、硫酸、甲醇、盐酸、十二烷基三甲基氯化铵为优级纯或分析纯。标准溶液用淋洗液配制，实验用水为 18.0 M 去离子水。

淋洗液：0.668 g PDCA、3.85 g乙酸铵、0.72 g磷酸氢二钠、1.67 g碘化钾和0.30 g氢氧化钠溶于100 mL水，得到混合储备液，用时稀释10倍，调节溶液pH 6.8。

衍生试剂：0.5 g十二烷基三甲基氯化铵溶于100 mL热水，冷却加水约500 mL、硫酸20 mL，另称取0.5 g PDC，溶于150 mL甲醇，两液混合加水定容到1 000 mL，过滤后使用，冰箱储存稳定7 d。

1.2 色谱条件

淋洗液流速1.0 mL/min，衍生剂流速0.5 mL/min，反应温度40℃，检测波长520 nm，进样量75 μL，以保留时间定性，峰面积定量。

1.3 样品预处理

准确称取1 g样品于25 mL比色管中，其中一组加入1.0 mol/L乙酸约15 mL，用于Cr³⁺的测定，另一组加入0.5 mol/L氢氧化钠约15 mL用于Cr⁶⁺测定。两管水浴加热至沸腾20 min，充分溶解，高速振荡5 min，超声浸提10 min，用3.0 mol/L氢氧化钠、1.5 mol/L盐酸调节样品溶液的pH为6.5~7.0，加入2 mL淋洗液储备液，水浴加热煮沸2 min，冷却，加水定容至刻度。取上清液，14 000 r/min离心分离10 min，过0.45 μm滤膜，备用。

2 结果与讨论

2.1 衍生剂浓度、反应温度与检测波长的确定

二苯碳酰二肼(PDC)是测定铬常用的显色剂，但灵敏度不高。本研究优化了反应条件，以提高灵敏度。分别固定PDC、甲醇、十二烷基三甲基氯化铵和硫酸中的3种试剂含量，改变其中1种试剂的浓度，测定标准溶液中Cr³⁺和Cr⁶⁺的峰面积。实验结果表明，PDC从0.3 g/L增加到0.8 g/L时，Cr³⁺的峰面积增大，Cr⁶⁺的峰面积则减小；甲醇体积分数从5%增加到20%时，Cr³⁺的峰面积稍微增大，Cr⁶⁺的峰面积增加较多；十二烷基三甲基氯化铵从0.2 g/L增加到4 g/L时，Cr³⁺和Cr⁶⁺的峰面积先增加后减小；硫酸体积分数从1.5%增加到3.0%时，Cr³⁺和Cr⁶⁺的峰面积变化不明显。综合考虑，选择0.5 g/L PDC、15%甲醇、2.0%硫酸、0.5 g/L十二烷基三甲基氯化铵混合液作衍生剂。

反应温度对显色反应有明显的影响，在室温、40℃、60℃、80℃时，分别测定标准溶液中Cr³⁺和Cr⁶⁺的峰面积。实验结果表明，温度增加，Cr³⁺峰面积略有减小，Cr⁶⁺的峰面积明显增加，反应温度为40℃较合适。

Cr()-PDCA和Cr()-PDC在255、325、365 nm有紫外吸收，但吸收弱^[5]。Cr()-PDC和Cr()-PDC在520、540 nm等有较强的可见吸收，因此，选取520 nm为检测波长。

2.2 样品预处理方法的选择

铬形态分析样品前处理方法有多种，可采用PIS聚合物吸附、阴离子微柱浓缩法^[3-4]，中性氧化铝小柱吸附样品的Cr³⁺和Cr⁶⁺，然后用酸、碱分别洗脱，回收率好^[6]。Cathum等^[11]采用嘧啶二酸铵萃取环境样品中的Cr³⁺、CrO₄²⁻和Cr₂O₇²⁻。综合文献报道，碱性条件有利于Cr⁶⁺的提取，但Cr³⁺会生成Cr(OH)₃沉淀，采用酸提取Cr³⁺更合适。本实验分别测定0.5 mol/L碳酸氢钠、氢氧化钠、1.0 mol/L硫酸、乙酸、盐酸溶液等浸提样品中Cr³⁺和Cr⁶⁺的效率。结果表明，碳酸氢钠、盐酸、硫酸提取效率极低，0.5 mol/L氢氧化钠溶液浸提Cr⁶⁺和1.0 mol/L乙酸提取Cr³⁺的效率较高(见表1)。故本

文选择 0.5 mol/L 氢氧化钠和 1.0 mol/L 乙酸分别作为 Cr^{3+} 、 Cr^{6+} 的提取液。

表 1 浸提液对化妆品和保健品中 Cr^{3+} 、 Cr^{6+} 回收率的影响 ($n=3$)

Table 1 Effect of extractive reagent on the recoveries of Cr^{3+} and Cr^{6+} in cosmetics and hygienical food ($n=3$)

Sample	Extractive reagent	Cation	Original w_O / (mg · kg ⁻¹)	Added w_A / (mg · kg ⁻¹)	Found w_F / (mg · kg ⁻¹)	Recovery R / %
Color focus palette	0.5 mol/L NaOH	Cr^{3+}	<0.12	30.48	7.28 ±0.61	24
		Cr^{6+}	0.81	4.07	5.22 ±0.22	108
	1 mol/L CH ₃ COOH	Cr^{3+}	<0.12	30.48	26.97 ±1.54	89
		Cr^{6+}	0.75	6.10	3.5 ±0.31	45
Foundation cream	0.5 mol/L NaOH	Cr^{3+}	<0.12	30.48	5.35 ±0.14	17
		Cr^{6+}	0.59	4.07	4.83 ±0.57	104
	1 mol/L CH ₃ COOH	Cr^{3+}	<0.12	30.48	27.87 ±1.68	91
		Cr^{6+}	0.75	6.10	3.33 ±0.25	42
Anti-diabetic capsule	0.5 mol/L NaOH	Cr^{3+}	<0.12	30.48	6.1 ±0.78	20
		Cr^{6+}	<0.011	6.10	5.62 ±0.22	91
	1 mol/L CH ₃ COOH	Cr^{3+}	10.36	30.48	38.58 ±3.23	93
		Cr^{6+}	<0.011	6.10	3.92 ±0.57	64

2.3 干扰实验

考察了常见共存离子对铬测定的影响，实验发现，10.0 mg/L 的 Fe^{2+} 、 Fe^{3+} 、 Pb^{2+} 、 Cu^{2+} 、 Al^{3+} 、 Zn^{2+} 、 Hg^{2+} ，15.0 mg/L 的苯甲酸、山梨酸、糖精钠、柠檬酸、酒石酸，均不影响测定。

2.4 线性方程、线性关系与检出限

在实验选定的最佳条件下，分别测定 Cr^{3+} 和 Cr^{6+} 的混合标准溶液，求得线性方程和相关系数。配制 0.05 mg/L Cr^{3+} 和 0.02 mg/L Cr^{6+} 的混合标准溶液，连续进样 11 次，得到浓度平均值和标准差，计算方法的检出限 (LODs, 3) 见表 2。

表 2 线性方程、线性关系与检出限

Table 2 Linear regression equations, correlation coefficients and detection limits (3)

Cation	Linear regression equations	Correlation coefficient r	Average concentration ($n=11$) / (mg · L ⁻¹)	LODs / (μg · L ⁻¹)	LODs w / (mg · kg ⁻¹)
Cr^{3+}	$A = -3.10 \times 10^{-6} + 5.59 \times 10^{-5} c$	0.9994	$0.068 \pm 1.559 \times 10^{-3}$	4.7	0.12
Cr^{6+}	$A = -1.07 \times 10^{-4} + 7.27 \times 10^{-3} c$	0.9996	$0.0158 \pm 1.391 \times 10^{-4}$	0.42	0.011

2.5 方法的精密度与加标回收率

配制 0.245 mg/L Cr^{3+} 和 0.100 mg/L Cr^{6+} 的混合标准溶液连续进样 8 次，峰面积平均值和相对标准偏差分别为 $1.045 \times 10^{-5} \pm 1.195 \times 10^{-6}$ 、RSD 为 1.1%， $1.086 \times 10^{-4} \pm 1.367 \times 10^{-6}$ 、RSD 为 1.3%。

准确称取 1 g 脂粉样品 3 份，其中 2 份分别加入 Cr() 和 Cr() 标准溶液，按照“1.3”处理样品，测定。 Cr^{3+} 平均回收率为 89%~93%， Cr^{6+} 平均回收率为 91%~108% (见表 1)，色谱图见图 1A、1B。

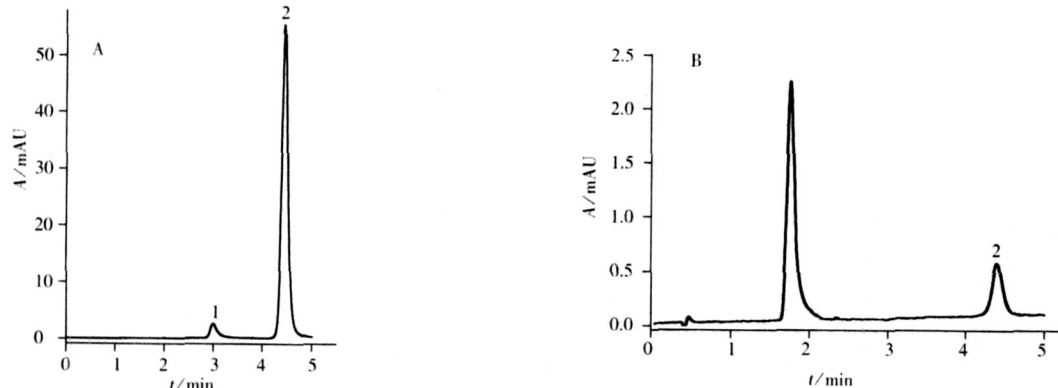


图 1 标准溶液 (A) 及胭脂粉 (B) 的离子色谱图

Fig. 1 Ion chromatogram of standard mixture (A) and powder blush refill (B)

A: 1. Cr^{3+} (8.13 mg/L), 2. Cr^{6+} (0.816 mg/L); B: 2. Cr^{6+} (0.025 mg/L)

(下转第 552 页)

参考文献:

- [1] 陈青川, 于文莲, 王静. 高效液相色谱法同时测定多种食品添加剂 [J]. 色谱, 2001, 19(2): 105 - 108.
- [2] 陈金东, 李蔚. 高效液相色谱法同时测定食品中的阿斯巴甜、阿力甜 [J]. 中国卫生检验杂志, 2006, 16(9): 1069 - 1070.
- [3] 中华人民共和国卫生部. GB2760食品添加剂使用卫生标准 [S]. 北京: 中国标准出版社, 1997: 28 - 29.
- [4] 陈少波, 潘超华. 食品中甜蜜素的紫外分光度法测定 [J]. 分析测试学报, 2000, 19(3): 82 - 83.
- [5] 贾玉珠, 骆和东, 林健. HPLC 法同时测定饮料中 5 种添加剂的研究 [J]. 中国卫生检验杂志, 2005, 15(4): 448 - 449.
- [6] 郭又珍, 王志宏. 同时测定碳酸饮料中苯甲酸钠、山梨酸钾和安赛蜜的高效液相色谱法 [J]. 分析测试学报, 2001, 20(4): 67 - 68.
- [7] 郭莹莹, 朱岩, 叶明立. 淋洗液发生器离子色谱抑制电导法测定甜味剂 [J]. 浙江大学学报, 2004, 31(4): 435 - 437.
- [8] ZHU Yan, GUO Yingying, YE Mingli, et al Separation and simultaneous determination of four artificial sweeteners in food and beverages by ion chromatography [J]. J Chromatogr A, 2005, 1085: 143 - 146.
- [9] BOYCEM C. Simultaneous determination of antioxidants, preservatives and sweeteners permitted as additives in food by mixed micellar electrokinetic chromatography [J]. J Chromatogr A, 1999, 847: 369 - 375.
- [10] CATHERNEAU T, CRAIGE TRENTERRY V. Micellar electrokinetic capillary chromatographic determination of artificial sweeteners in low-Joule soft drinks and other foods [J]. J Chromatogr A, 1995, 694: 507 - 514.

(上接第 548 页)

参考文献:

- [1] FLORAS De. Threshold mechanisms and site specificity in chromium () carcinogenesis [J]. Carcinogenesis, 2000, 21(4): 533 - 541.
- [2] FANG Guozhen, LUO Jikun. Spectrophotometric determination of chromium (,) by use of chromium (,) chromate-znol S-cetylpyridinium bromide-hydroxylamine hydrochloride-zinc () system [J]. Talanta, 1992, 39(12): 1579 - 1582.
- [3] SCINDIA YM, PANDEY A K, REDDY A V, et al Selective preconcentration and determination of chromium () using a flat sheet polymer inclusion sorbent potential application for Cr() determination in real samples [J]. Anal Chem, 2002, 74(16): 4204 - 4212.
- [4] SAMANTA G, BORG C B, DASGUPTA P K. Continuous automated measurement of hexavalent chromium in airborne particulate matter [J]. Anal Chem, 2001, 73(9): 2034 - 2040.
- [5] THORBURN D, DANGOLLE C D E. Spectrophotometric determination of chromium () by extraction of the dichromate anion into propylene carbonate [J]. Anal Chim Acta, 1997, 356: 145 - 152.
- [6] SAHAYAM A C. Speciation of Cr() and Cr() in potable waters by using activated neutral alumina as collector and ET-AAS for determination [J]. Anal Bioanal Chem, 2002, 372(7/8): 840 - 842.
- [7] XU Yi, BESSOTH F G, EILKE J C T, et al On-line monitoring of chromium () using a fast micromachined mixer/reactor and chemiluminescence detection [J]. Analyst, 2000, 125: 677 - 685.
- [8] FRANCESCO C, ANDREA R. Determination of cadmium, lead, iron, nickel and chromium in selected food matrices by plasma spectrometric techniques [J]. Microchemical Journal, 2002, 79(1/2): 91 - 96.
- [9] WU Ying, HU Bin, PENG Tong, et al In-situ separation of chromium () and chromium () and sequential ETV-ICP-AES determination using acetylacetone and PTFE as chemical modifiers [J]. Fresenius J Anal Chem, 2001, 370(7): 904 - 910.
- [10] 王柏松, 李华, 丁富新, 等. 毛细管电泳柱上络合分离、间接紫外检测重金属离子 [J]. 分析测试学报, 2006, 25(5): 25 - 29.
- [11] CATHUM S, BROWN C E, WONG Wei. Determination of Cr³⁺, CrO₄²⁻ and Cr₂O₇²⁻ in environmental matrixes by high-performance liquid chromatography with diode-array detection [J]. Anal Bioanal Chem, 2002, 373(1/2): 103 - 110.
- [12] TOMAS D H, ROHRER J S, JACKSON P E, et al. Determination of hexavalent chromium at the level of the California Public Health Goal by ion chromatography [J]. J Chromatogr A, 2002, 956(1/2): 255 - 259.
- [13] 周光明, 刘珍, 杨光明, 等. 低压离子色谱分离 - 化学发光在线检测过渡金属离子 [J]. 色谱, 2005, 23(3): 265 - 268.